

15. Gregoric I.D. Mechanical circulatory support in acute heart failure // Texas Heart Institute Journal. 2012. Vol. 39. Iss. 6. PP. 854-855.
16. Slaughter M.S., Pagani F.D., Rogers J.G., Miller L.W., Sun B., Russell S.D. et al. Clinical management of continuous-flow left ventricular assist devices in advanced heart failure // The Journal of Heart and Lung Transplantation. 2010. Vol. 29. Iss. 4. PP. 1-39.
17. Kirklin J.K., Nafte D.C., Kormos R.L., Stevenson L.W., Pagani F.D., Miller M.A. et al. Fifth INTERMACS annual report: Risk factor analysis from more than 6,000 mechanical circulatory support patients // The Journal of Heart and Lung Transplantation. 2013. Vol. 32. Iss. 2. PP. 141-156.

Андрей Андреевич Галастов,  
аспирант,  
Максим Валерьевич Денисов,  
инженер,

Институт биомедицинских систем,  
ФГАОУ ВО «НИУ «Московский институт  
электронной техники»,  
г. Москва, г. Зеленоград,

Томас Гром,  
д-р наук, профессор,  
кафедра биомедицинских материалов,  
Институт фармацевтики,  
Междисциплинарный центр материаловедения,  
Галле-Виттенбергский университет  
имени Мартина Лютера,  
г. Галле, Германия,  
Дмитрий Викторович Тельшев,  
канд. техн. наук, доцент,  
Институт биомедицинских систем,  
ФГАОУ ВО «НИУ «Московский  
институт электронной техники»,  
г. Москва, г. Зеленоград,  
e-mail: galyastov@bms.zone

**А.И. Сырбу, Г.П. Иткин, А.П. Кулешов, Н.А. Гайдай**

## Математическая модель нейрогуморальной регуляции системы кровообращения

### Аннотация

Описана математическая модель большого круга кровообращения, учитывающая барорецепторную и гуморальную регуляцию частоты сердечных сокращений. Модель позволяет воспроизводить изменение основных гемодинамических параметров при моделировании различных физиологических состояний.

### Введение

В последние десятилетия в клинической практике лечения терминальной сердечной недостаточности (ТСН) успешно внедрялась новая технология, основанная на применении экстра-корпоральных и имплантируемых систем вспомогательного кровообращения (СВК) как моста к последующей трансплантации сердца. Вместе с тем остались малоизученными вопросы о взаимодействии этих систем с системой кровообращения в диапазоне физических нагрузок. Это касается также оценки взаимодействия донорского сердца с системой кровообращения блокировкой нервного управления частотой сердечных сокращений в условиях физической нагрузки.

В настоящей статье построена математическая модель системы кровообращения с анализом фактора физической нагрузки с учетом оценки динамики кислородного долга в условиях нормы и при замене сердца трансплантатом. На следующих этапах планируется использование данной модели для исследования взаимодействия системы кровообращения в условиях ТСН и применения СВК при физической нагрузке для оптимизации режима работы СВК.

**Цель статьи** – построить математическую модель системы кровообращения человека, учитывающую влияние нейрогуморального фактора на ЧСС.

### Материалы и методы

Для построения математической модели нами использовались основные элементы построенных ранее моделей [1]-[3] с введением дополнительных контуров регуляции ЧСС. Модель разработана в среде MATLAB Simulink с применением электрогидравлических аналогов. Модель описывает большой круг кровообращения в виде замкнутого контура, который со-

стоит из девяти модулей: желудочка (ЛЖ), предсердия (ЛП), аортальной (АО), периферической (П) и венозной (В) секций, а также коронарных сосудов (К) и барорецепторной регуляции (Б), контуров регуляции кислородного долга ( $O_2$ ) и регуляции ЧСС – и позволяет получать основные гемодинамические параметры как для физиологической нормы, так и при сердечной недостаточности. Учет механизмов регуляции ЧСС возможен при использовании нескольких контуров с обратной связью с различными передаточными функциями. Функциональная схема разработанной модели представлена на рис. 1.

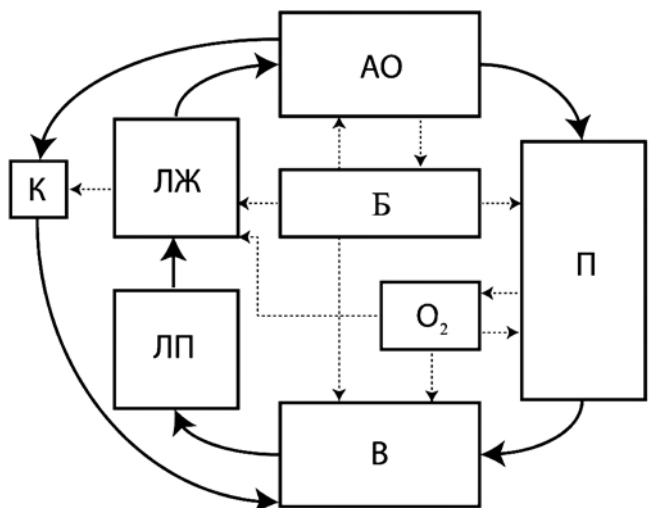


Рис. 1. Структурная схема математической модели, учитывающая механизмы регулирования ЧСС (пояснения – в тексте статьи)

Сплошными линиями на рис. 1 обозначено направление тока крови, пунктиры линии обозначают функциональные связи, определяющие влияния одного модуля на другой. Связь « $O_2$  – желудочек» описывает совокупное гуморальное влияние на ЧСС, связанное с кислородным долгом [4].

Модель позволяет оценивать основные гемодинамические характеристики [ЧСС, артериальное давление (АД), системный кровоток] при моделировании различных физиологических и патофизиологических состояний путем изменения параметров элементов, входящих в модель (проводимостей и емкостей сосудов).

Ниже приведены основные математические соотношения, характеризующие моделируемые элементы системы кровообращения.

Для описания изменения давления в левом желудочке  $P(V)$  использовалось его представление в виде зависимости от функции эластичности [5]:

$$p(V) = n \{ (V - V_{0v}) E_m - A \exp[B(V - V_{0v})] \} e(t) + C \exp(kV) + D \exp(-lV) + E, \quad (1)$$

где  $n$  – коэффициент барорецепторного влияния;  $V$  – объем желудочка;  $V_{0v}$  – ненапряженный объем желудочка;  $e(t)$  – функция эластичности;  $E_m$  – максимальное значение эластичности;  $A, B, C, D, E, k, l$  – коэффициенты, рассчитанные на основе анализа экспериментальных данных. Уравнение (1) позволяет описать сердечный цикл в зависимости от сердечной фазы и степени наполнения желудочка. Значения параметров приведены в табл. 1. В скобках приведены значения, используемые для моделирования сердечной недостаточности.

Согласно [6], функция эластичности имеет следующий вид:

$$e(t) = \begin{cases} 0,5 \left( 1 - \cos \frac{2\pi t_c}{2t_s} \right); & t \in \left[ 0, \frac{2t_s}{3} \right]; \\ \cos \left( \frac{3\pi t_c}{2t_s} + \pi \right); & t \in \left[ \frac{2t_s}{3}, t_s \right]; \\ 0; & t \in [t_s, t_c], \end{cases}$$

где  $t_c$  – время сердечного цикла;  $t_s$  – продолжительность систолы;  $t$  – текущее время, изменяющееся от нуля до  $t_c$ .

Таблица 1

**Основные параметры модели**

| Параметр                              | Значение | Параметр                 | Значение    |
|---------------------------------------|----------|--------------------------|-------------|
| $Y_{ao}$ , мл/мм рт. ст.              | 10       | $A$ , мм рт. ст./мл      | 0,35        |
| $V_{an}$ , мл                         | 200      | $B$ , 1/мл               | 0,02        |
| $V_{a0}$ , мл                         | 400      | $C$ , мм рт. ст.         | 0,7         |
| $P_0$ , мм рт. ст.                    | 70       | $D$ , мм рт. ст.         | 1           |
| $L_{ao}$ , мм рт. ст. $c^2/\text{мл}$ | 0,007    | $k$ , 1/мл               | 0,017       |
| $A_{O2}$ , %                          | 20       | $I$ , 1/мл               | 0,03        |
| $Y_p$ , мл/мм рт. ст.                 | 0,8      | $E$ , мм рт. ст.         | 1           |
| $G_{b0}$ , мм рт. ст./мл              | 0,005    | $E_m$ ,<br>мм рт. ст./мл | 3,5         |
| $Y_{v0}$ , мл/мм рт. ст.              | 32       | $V_{vn}$ , мл            | 3000        |
| $G_{at}$ , мм рт. ст./мл              | 0,06     | $V_{v0}$ , мл            | 4300 (5000) |
| $Y_{at}$ , мл/мм рт. ст.              | 25       | $V_{v0/lv}$ , мл         | 10          |

Коэффициент барорецепторного влияния описывается выражением [1]

$$n = n_0 + k_n \gamma,$$

где  $\gamma$  – барорецепторная регуляция.

Предсердие представляется в виде элемента с постоянной упругостью и проводимостью

$$G_{at} = G_{at0} = \text{const};$$

$$Q = (P_{at} - P_{lv}) Y_{at},$$

где  $Q$  – кровоток;  $G_{at}$  – упругость;  $P_{at}$  – давление в предсердии;  $P_{lv}$  – давление в желудочке;  $Y_{at}$  – проводимость, которая описывается следующим уравнением:

$$Y_{at} = Y_{at0} + k_{at} P_{at},$$

где  $k_{at}$  – коэффициент пропорциональности.

Уравнения, описывающие кровоток через основные сосуды, имеют вид:

$$\dot{Q} = \frac{P_{ao} - P_p - \frac{Q}{Y_{ao}}}{L_{ao}}; \\ Q_p = (P_p - P_v) Y_p; \\ Q_v = (P_v - P_{at}) Y_v,$$

где  $Q_{at}$  – производная от кровотока в аорте по времени;  $P_{ao}$ ,  $P_p$ ,  $P_v$  – давления в аорте, периферических сосудах, венах соответственно;  $Y_{ao}$ ,  $Y_p$ ,  $Y_v$  – проводимости в аорте, периферических сосудах, венах соответственно;  $Q_p$ ,  $Q_v$  – кровоток в периферических сосудах и венах соответственно.

Упругости сосудов вычисляются по следующим уравнениям:

$$G_{ao} = G_{ao0} + \gamma k_{ao};$$

$$G_p = G_{p0} + \gamma_p k_p;$$

$$G_v = G_{v0} + \gamma_v k_v,$$

где  $G_{ao0}$ ,  $G_{p0}$ ,  $G_{v0}$  – базовые значения упругостей аорты, периферических сосудов и вен соответственно;  $\gamma$ ,  $\gamma_p$ ,  $\gamma_v$  – барорецепторная регуляция с соответствующими коэффициентами:

$$\gamma_p = T_\gamma \gamma,$$

где  $T_\gamma$  – передаточная функция, характеризующая задержку распространения нервного импульса.

Проводимости сосудов представлены в виде:

$$Y_{ao} = Y_{ao0} = \text{const};$$

$$Y_p = Y_{p0} + k_{yp} \gamma_p + k_{Dp} D_{o2};$$

$$Y_v = Y_{v0} + k_{vp} P_v + k_{Rp} R_{o2},$$

где  $Y_{ao0}$ ,  $Y_{p0}$ ,  $Y_{v0}$  – базовые значения проводимостей;  $D_{o2}$  и  $R_{o2}$  – долг и потребление кислорода соответственно.

Давление на каждом сосудистом участке и в предсердии записывается в виде

$$P_i = G_i \left[ \int_0^T (Q_{in} - Q_{out}) dt + V_{i0} - V_{iu} \right],$$

где  $G_i$  – упругость участка;  $Q_i$  и  $Q_{out}$  – входной и выходной потоки соответственно;  $V_{i0}$  – начальный объем;  $V_{iu}$  – ненапряженный объем.

Уравнение, описывающее различные виды воздействия на ЧСС:

$$f = f_0 + T_{Fy} (\gamma - \gamma_0) + T_D D_{o2}, \quad (2)$$

где  $f_0$  – базовая ЧСС;  $T_{Fy}$ ,  $T_{at}$ ,  $T_D$  – передаточные функции;  $\gamma$  – нервная регуляция;  $V_{at}$  – объем предсердия;  $D_{o2}$  – кислородный долг;  $\gamma_0$  и  $V_{at0}$  – пороговые значения.

На основе данной величины рассчитывается значение продолжительности сердечного цикла

$$t_c = f^{-1}|_{t=0}.$$

Уравнения, описывающие кислородный контур [1]:

$$q_{o2} = Q(A - B)_{o2};$$

$$B_{O_2} = k_B \int_0^t (qO_2 - rO_2) dt;$$

$$D_{O_2} = k_D \int_0^t (rO_2 - qO_2) dt.$$

## Результаты

На рис. 2 показаны зависимости ЧСС от потребления кислорода, полученные на модели (сплошная линия), а также по усредненным значениям из двух экспериментальных работ [7],

[8], в которых измерялось изменение ЧСС и потребления кислорода при разных уровнях физической нагрузки.

В первом случае наибольшее отклонение составляет 24 %, во втором – 11 % без учета погрешностей экспериментальных данных. Полученная на модели зависимость хорошо согласуется с экспериментальными данными.

Общее гуморальное влияние описывается последним слагаемым в уравнении (2), которое обозначает суммарное воздействие на ЧСС при возникновении кислородного долга, опосредованное в первую очередь гормональным влиянием на сердце. На рис. 3 представлены зависимости ЧСС от времени,

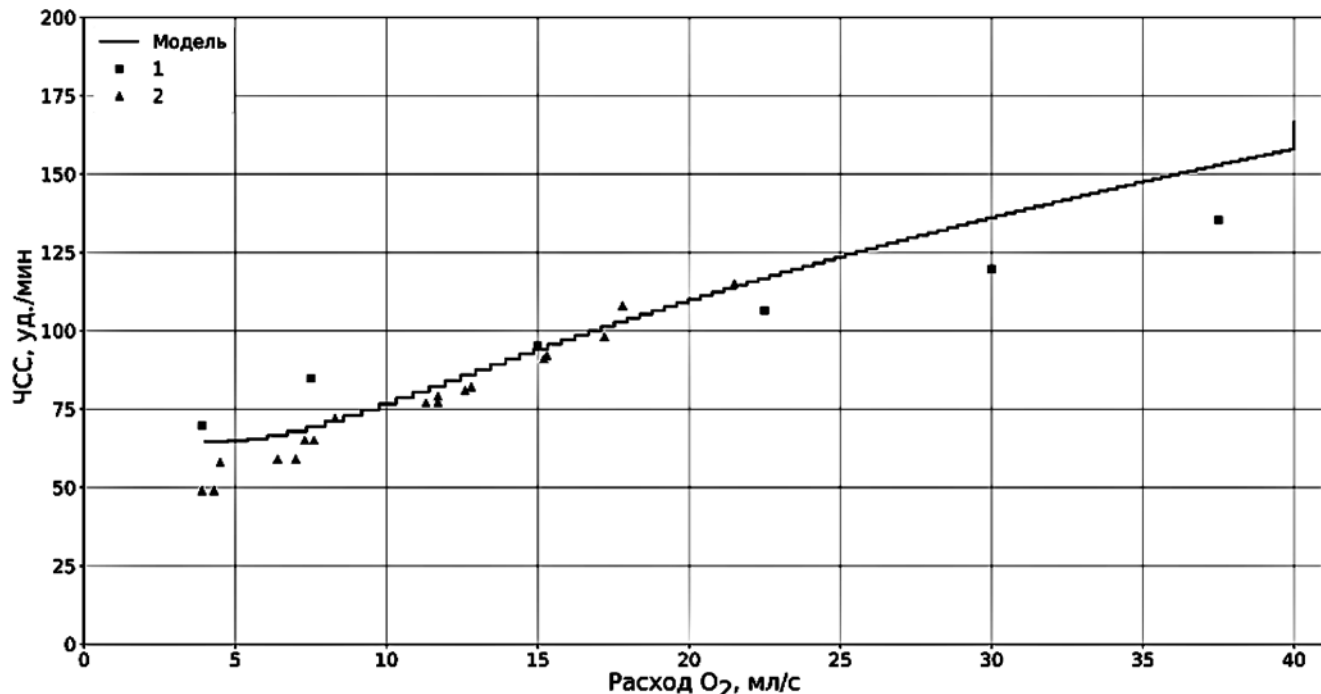


Рис. 2. Зависимости ЧСС от потребления кислорода, полученные на модели и в экспериментальных работах: 1 – [7]; 2 – [8]

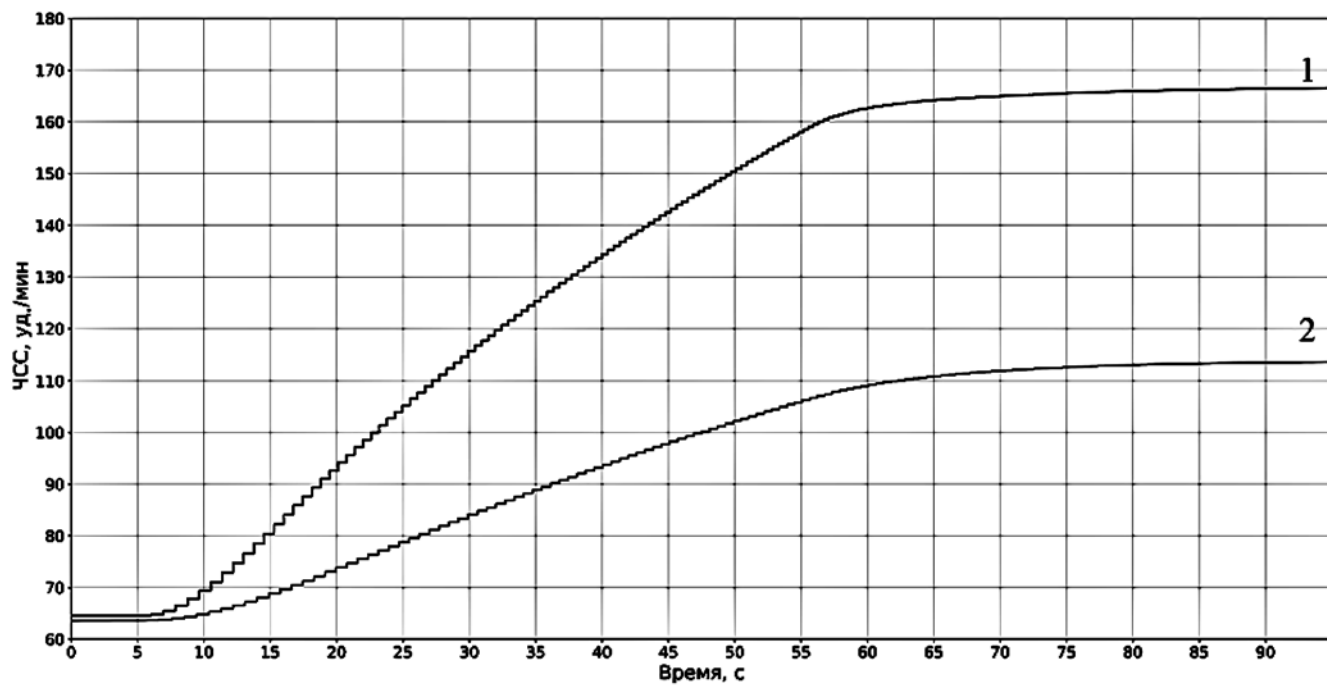


Рис. 3. Изменения ЧСС, полученные на модели при воспроизведении физической нагрузки на здоровом (1) и денервированном (2) сердце

полученные на модели при воспроизведении режима физической нагрузки на здоровом и денервированном сердце (эксперимент Дональда).

Зависимость 1 показывает изменение ЧСС при моделировании физической нагрузки посредством увеличения потребления кислорода ( $R_{O_2}$ ). Зависимость 2 также получена при моделировании физической нагрузки, но при отсутствии нервной регуляции. Таким образом, ЧСС регулировалась только гуморальным фактором, т. е. воспроизводился эксперимент Дональда [9].

На рис. 4 показан график зависимости аортального давления от времени при увеличении потребления кислорода (физическая нагрузка). Полученные на модели зависимости имеют хорошие качественное и количественное соответствие экспериментальным данным [7], [8]. В частности, на рис. 4 пунктирными линиями обозначены огибающие (сверху и снизу) аналогичной зависимости, полученной на основе экспериментальных данных [7]. Огибающие построены по точкам, соответствующим средним значениям систолического и диастолического АД. При этом разброс значений указан на рис. 4 в виде вертикальных отрезков. Анализ данной зависимости свидетельствует о том, что полученная на модели динамика величин АД практически не выходит за рамки экспериментальных зависимостей.

### Заключение

Разработана компьютерная математическая модель большого круга кровообращения человека на основе представления ССС в виде системы с сосредоточенными параметрами в рамках подхода, основанного на электрогидравлической аналогии, учитывающая механизмы регулирования ЧСС. Модель позволяет получать зависимости основных гемодинамических характеристик ССС (АД, УО желудочка, ЧСС и др.) от потребления кислорода, периферического сопротивления сосудов, функционального состояния желудочка и ряда других параметров, что дает возможность воспроизводить различные физиологические состояния: сердечную недостаточность, физическую нагрузку, кровопотерю и переливание крови и др. Дальнейшее развитие связано с моделированием взаимодействия СВК и системы кровообращения.

### Список литературы:

1. Иткин Г.П. Разработка и исследование систем управления протезами сердца с помощью математического моделирования / Автореф. дис. канд. техн. наук. – М., 1974.
2. Солодянников Ю.В. Элементы математического моделирования и идентификация кровообращения. – Самара, 1994. С. 5-15.
3. Прошин А.П., Солодянников Ю.В. Математическое моделирование системы кровообращения и его практические применения // Автоматика и телемеханика. 2006. Т. 2. С. 174-188.
4. Rushmer R.F. Cardiovascular Dynamics // Academic Medicine. 1961. Vol. 36. № 6. P. 742.
5. Ferrari G., De Lazzari C., Mimmo R., Tosti G., Ambrosi D. A Modular Numerical Model of the Cardiovascular System for Studying and Training in the Field of Cardiovascular Physiopathology // Journal of Biomedical Engineering. 1992. Vol. 14. № 2. PP. 91-107.
6. Gohean J.R., George M.J., Pate T.D., Kurusz M., Longoria R.G., Smalling R.W. Verification of a Computational Cardiovascular System Model Comparing the Hemodynamics of a Continuous Flow to a Synchronous Valveless Pulsatile Left Ventricular Assist Device // ASAIO Journal. 2013. Vol. 59. № 2. P. 107.
7. Karvonen J., Vuorimaa T. Heart Rate and Exercise Intensity During Sports Activities // Sports Medicine. 1988. Vol. 5. № 5. PP. 303-311.
8. Miyai N., Arita M., Miyashita K., Morioka I., Shiraishi T., Nishio I. Blood Pressure Response to Heart Rate During Exercise Test and Risk of Future Hypertension // Hypertension. 2002. Vol. 39. № 3. PP. 761-766.
9. Donald D.E., Shepherd J. T. Initial Cardiovascular Adjustment to Exercise in Dogs with Chronic Cardiac Denervation // American Journal of Physiology-Legacy Content. 1964. Vol. 207. № 6. PP. 1325-1329.

Арсений Иванович Сырбу,

магистр, аспирант 3 курса,

кафедра физики живых систем,

ФГАОУ ВО «Московский физико-технический

институт (национальный исследовательский  
университет)»,

Георгий Пинкусович Иткин,

д-р биолог. наук, профессор, зав. лабораторией,

Аркадий Павлович Кулешов,

канд. биолог. наук, ст. научный сотрудник,

лаборатория биотехнических систем,

ФГБУ «Национальный медицинский  
исследовательский центр трансплантологии  
и искусственных органов им. акад. Шумакова»

Министерства здравоохранения

Российской Федерации,

Наталья Андреевна Гайдай,

канд. техн. наук, доцент,

кафедра «Управление качеством и сертификация»,

ФГБОУ ВО «Московский авиационный

институт (национальный исследовательский  
университет),

г. Москва,

e-mail: s\_arseniy@outlook.com

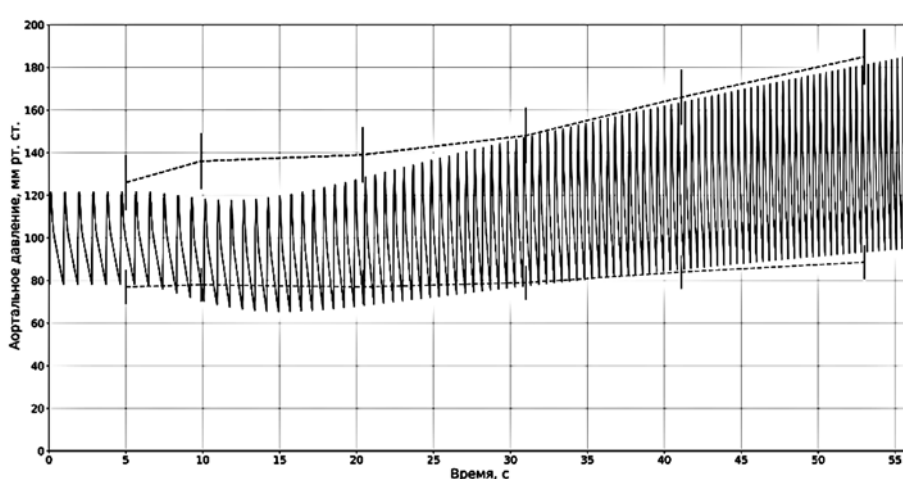


Рис. 4. Изменение аортального давления при моделировании физической нагрузки